

УДК 539.37

О РЕЗОНАНСНЫХ СВОЙСТВАХ МОМЕНТНОГО КОНТИНУУМА КОССЕРА

М. П. Варыгина*, О. В. Садовская*,**, В. М. Садовский*,**

* Институт вычислительного моделирования СО РАН, 660036 Красноярск

** Сибирский федеральный университет, 660041 Красноярск

E-mail: sadov@icm.krasn.ru

С использованием высокоэффективных параллельных вычислений установлено, что в моментной упругой среде существует резонансная частота, соответствующая частоте собственных колебаний вращательного движения частиц и не зависящая от размеров исследуемой области.

Ключевые слова: упругость, моментная среда, параллельный алгоритм, резонансный спектр.

Введение. Математическая модель моментного континуума Коссера [1, 2], учитывающая микроструктуру материала, предназначена для описания напряженно-деформированного состояния композитов, гранулированных, порошкообразных, микроразрушенных и микрополярных сред. Принципиальное отличие данной модели от классической теории упругости состоит в том, что в ней неявно присутствует малый линейный параметр — размер частиц микроструктуры материала. Как следствие для получения корректных численных решений расчеты необходимо выполнять на сетках, размер ячеек которых согласован со значением этого параметра. При решении динамических задач в пространственной постановке оказываются эффективными параллельные алгоритмы, позволяющие распределять вычислительную нагрузку между большим числом узлов кластера и существенно уменьшать размер ячеек расчетной сетки, тем самым повышая точность численного решения.

Вопросы численной реализации модели на многопроцессорных вычислительных системах рассматриваются в [3, 4]. В настоящей работе приводятся результаты анализа колебательных процессов, которые показывают, что в моментной упругой среде существует резонансная частота, зависящая только от инерционных свойств частиц микроструктуры и от параметров упругости материала.

1. Основные уравнения модели. В модели моментной среды кроме поступательного движения, которое характеризуется вектором скорости \mathbf{v} , рассматриваются независимые повороты частиц с вектором угловой скорости $\boldsymbol{\omega}$, а наряду с тензором напряжений $\boldsymbol{\sigma}$, компоненты которого несимметричны, вводится несимметричный тензор моментных напряжений \mathbf{m} . Полную систему уравнений модели образуют уравнения движения, кинематические соотношения и обобщенный закон линейной теории упругости:

Работа выполнена при финансовой поддержке Российского фонда фундаментальных исследований (код проекта 08-01-00148), а также в рамках Комплексной программы фундаментальных исследований Президиума РАН № 2 “Интеллектуальные информационные технологии, математическое моделирование, системный анализ и автоматизация” и междисциплинарного Интеграционного проекта СО РАН № 40.

$$\begin{aligned} \rho \dot{v} &= \nabla \cdot \boldsymbol{\sigma} + \rho \mathbf{g}, & j \dot{\boldsymbol{\omega}} &= \nabla \cdot \mathbf{m} - 2\boldsymbol{\sigma}^a + j\mathbf{q}, & \dot{\mathbf{\Lambda}} &= \nabla \mathbf{v} + \boldsymbol{\omega}, & \dot{\mathbf{M}} &= \nabla \boldsymbol{\omega}, \\ \boldsymbol{\sigma} &= \lambda(\boldsymbol{\delta} : \mathbf{\Lambda})\boldsymbol{\delta} + 2\mu\mathbf{\Lambda}^s + 2\alpha\mathbf{\Lambda}^a, & \mathbf{m} &= \beta(\boldsymbol{\delta} : \mathbf{M})\boldsymbol{\delta} + 2\gamma\mathbf{M}^s + 2\varepsilon\mathbf{M}^a. \end{aligned} \quad (1.1)$$

Здесь ρ — плотность среды; \mathbf{g} — вектор массовых сил; \mathbf{q} — вектор моментов; $\mathbf{\Lambda}$, \mathbf{M} — тензоры деформаций и кривизн, в естественном (ненапряженном) состоянии среды равные нулю; $\boldsymbol{\delta}$ — метрический тензор; j — инерционный параметр, равный произведению момента инерции частицы относительно оси, проходящей через ее центр тяжести, и числа частиц в единице объема; λ , μ , α , β , γ , ε — коэффициенты упругости изотропного материала. Используются общепринятые обозначения и операции тензорного анализа: двоеточие означает двойную свертку, точка над символом — производную по времени, индекс т — транспонирование, верхние индексы s и a соответствуют симметричной и антисимметричной составляющим тензоров. С антисимметричной составляющей, где это необходимо, отождествляется соответствующий ей вектор. В частности, в уравнения вращательного движения входит вектор тензора $\boldsymbol{\sigma}^a = (\boldsymbol{\sigma} - \boldsymbol{\sigma}^T)/2$. В декартовой системе координат с антисимметричным тензором

$$\boldsymbol{\omega} = \begin{pmatrix} 0 & -\omega_3 & \omega_2 \\ \omega_3 & 0 & -\omega_1 \\ -\omega_2 & \omega_1 & 0 \end{pmatrix}$$

отождествляется вектор $\boldsymbol{\omega}$, координаты которого равны ω_1 , ω_2 , ω_3 .

Симметричная составляющая $\mathbf{\Lambda}^s = (\dot{\mathbf{\Lambda}} + \dot{\mathbf{\Lambda}}^T)/2$ тензора $\mathbf{\Lambda}$ представляет собой тензор скоростей деформации среды, а антисимметричная составляющая $\mathbf{\Lambda}^a = (\dot{\mathbf{\Lambda}} - \dot{\mathbf{\Lambda}}^T)/2$ характеризует угловую скорость относительного вращения частиц. Известная формула $\boldsymbol{\omega} = \nabla \times \mathbf{v}/2$ для вычисления вектора угловой скорости частиц безмоментной среды следует из равенства $\dot{\mathbf{\Lambda}}^a = 0$.

Для оценки линейного параметра микроструктуры материала справедлива формула $r = \sqrt{5j/(2\rho)}$, основанная на модельном представлении о среде как о плотной упаковке ансамбля шарообразных частиц одинакового радиуса.

В пространственном случае система уравнений (1.1) включает 24 уравнения относительно 24 неизвестных функций, и ее можно записать в матричной форме [3]

$$A\dot{U} = B^1U_{,1} + B^2U_{,2} + B^3U_{,3} + QU + G, \quad (1.2)$$

где U — вектор-функция, составленная из компонент векторов скорости и угловой скорости, несимметричных тензоров напряжений и моментных напряжений. В декартовой системе координат вектор-функция U принимает вид

$$U = (v_1, v_2, v_3, \sigma_{11}, \sigma_{22}, \sigma_{33}, \sigma_{23}, \sigma_{32}, \sigma_{31}, \sigma_{13}, \sigma_{12}, \sigma_{21}, \omega_1, \omega_2, \omega_3,$$

$$m_{11}, m_{22}, m_{33}, m_{23}, m_{32}, m_{31}, m_{13}, m_{12}, m_{21}).$$

В вектор G входят массовые силы и моменты. Матрицы-коэффициенты A , B^1 , B^2 , B^3 симметричны, а Q антисимметрична. Матрица A положительно определена, если выполняются следующие условия, ограничивающие допустимые значения параметров среды:

$$3\lambda + 2\mu > 0, \quad \mu > 0, \quad \alpha > 0, \quad 3\beta + 2\gamma > 0, \quad \gamma > 0, \quad \varepsilon > 0. \quad (1.3)$$

При выполнении условий (1.3) выражение для потенциальной энергии упругой деформации представляет собой положительную квадратичную форму, а система уравнений (1.2) является гиперболической по Фридрихсу [5]. Характеристические свойства системы (1.2) описываются уравнением

$$\det(cA + n_1B^1 + n_2B^2 + n_3B^3) = 0, \quad n_1^2 + n_2^2 + n_3^2 = 1,$$

положительные корни которого (скорости продольных волн c_p , поперечных волн c_s , волн кручения c_m и волн вращательного движения c_ω) равны

$$c_p = \sqrt{\frac{\lambda + 2\mu}{\rho}}, \quad c_s = \sqrt{\frac{\mu + \alpha}{\rho}}, \quad c_m = \sqrt{\frac{\beta + 2\gamma}{j}}, \quad c_\omega = \sqrt{\frac{\gamma + \varepsilon}{j}}. \quad (1.4)$$

Полную систему левых собственных векторов образуют 12 векторов, соответствующих ненулевым собственным числам $\pm c_p, \pm c_s, \pm c_m, \pm c_\omega$, среди которых $\pm c_s$ и $\pm c_\omega$ являются двукратными, и 12 векторов для $c = 0$.

Система (1.2) обладает обобщенными решениями с ударными волнами, для определения которых служит система уравнений сильного разрыва

$$(cA + n_1 B^1 + n_2 B^2 + n_3 B^3)[U] = 0, \quad (1.5)$$

где $[U]$ — скачок решения при переходе через фронт волны; c — скорость движения фронта в направлении нормального вектора \mathbf{n} . Из системы (1.5) следует, что в моментной среде ударные волны малой амплитуды могут распространяться только со скоростями (1.4), и на фронтах волн скалярные произведения левых собственных векторов и вектора U остаются непрерывными.

2. Одномерные движения с плоскими волнами. В одномерном случае, когда искомые функции зависят только от времени и одной из пространственных переменных, например x_1 , система уравнений (1.1) распадается на четыре независимые подсистемы, описывающие:

— плоские продольные волны:

$$\rho \dot{v}_1 = \sigma_{11,1}, \quad \dot{\sigma}_{11} = (\lambda + 2\mu)v_{1,1}, \quad \dot{\sigma}_{22} = \dot{\sigma}_{33} = \lambda v_{1,1}; \quad (2.1)$$

— крутильные волны:

$$j \dot{\omega}_1 = m_{11,1} + \sigma_{23} - \sigma_{32}, \quad \dot{\sigma}_{32} = -\dot{\sigma}_{23} = 2\alpha\omega_1, \quad (2.2)$$

$$\dot{m}_{11} = (\beta + 2\gamma)\omega_{1,1}, \quad \dot{m}_{22} = \dot{m}_{33} = \beta\omega_{1,1};$$

— поперечные волны (волны сдвига) с вращением частиц:

$$\rho \dot{v}_2 = \sigma_{12,1}, \quad \dot{\sigma}_{12} = (\mu + \alpha)v_{2,1} - 2\alpha\omega_3, \quad \dot{\sigma}_{21} = (\mu - \alpha)v_{2,1} + 2\alpha\omega_3, \quad (2.3)$$

$$j \dot{\omega}_3 = m_{13,1} + \sigma_{12} - \sigma_{21}, \quad \dot{m}_{13} = (\gamma + \varepsilon)\omega_{3,1}, \quad \dot{m}_{31} = (\gamma - \varepsilon)\omega_{3,1}.$$

Еще одна подсистема получается из (2.3) заменой индексов и также описывает поперечные волны.

Общее решение подсистемы (2.1) выражается формулой Даламбера, в соответствии с которой продольные волны, как и в классической теории упругости, распространяются со скоростями $\pm c_p$ и не обладают дисперсией. Подсистема крутильных волн (2.2) сводится к телеграфному уравнению относительно угловой скорости

$$\ddot{\omega}_1 = c_m^2 \omega_{1,11} - 4\alpha\omega_1/j.$$

Не зависящее от x_1 решение телеграфного уравнения описывает равномерное колебательное вращение частиц среды с периодом колебаний $T = \pi\sqrt{j/\alpha}$. Общее решение можно представить в виде интегральной формулы

$$\omega_1(\xi, \eta) = \int_0^\xi f'(\vartheta) J_0(-2\sqrt{(\xi - \vartheta)\eta}) d\vartheta + \int_0^\eta g'(\vartheta) J_0(-2\sqrt{\xi(\eta - \vartheta)}) d\vartheta +$$

$$+ (f(0) + g(0)) J_0(-2\sqrt{\xi\eta})$$

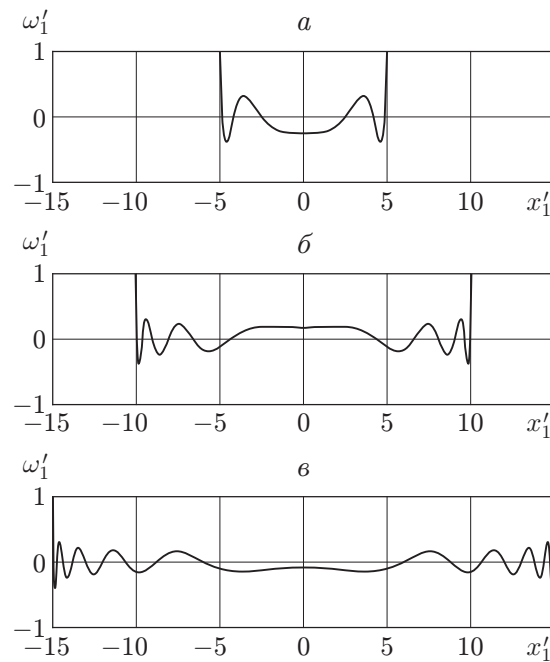


Рис. 1. Решение телеграфного уравнения для различных моментов безразмерного времени:

a — $t' = 5$, $б$ — $t' = 10$, $в$ — $t' = 15$

($\xi, \eta = (t \pm x_1/c_m)\pi/T$ — безразмерные переменные; $J_0(z)$ — функция Бесселя первого рода нулевого порядка; $f(\vartheta), g(\vartheta)$ — произвольные функции), которая несколько сложнее формулы Даламбера. На рис. 1 приведено типичное распределение угловой скорости ω_1 в промежутке между фронтами двух ударных волн кручения $x_1 = \pm c_m t$. Используются безразмерные переменные: время $t' = \pi t/T$ и пространственная координата $x'_1 = \pi x_1/(c_m T)$. Амплитуда на фронтах волн считается постоянной в процессе движения (ее безразмерное значение равно единице). Перед каждым фронтом среда находится в невозмущенном состоянии. В начальный момент рассматриваемое решение имеет гладкий, неосциллирующий профиль. С течением времени на фронтах ударных волн возбуждается волнообразное вращательное движение частиц с характерной длиной волны, приблизительно равной $c_m T$.

В работе [6] с использованием разностной схемы Неймана — Рихтмайера выполнен численный анализ уравнений поперечных волн (2.3). Расчеты проводились для задачи об импульсном воздействии на упругую среду периодической системы Λ -образных импульсов касательного напряжения. Результаты расчетов показывают, что при фиксированном времени угловая скорость, а также моментные напряжения представляют собой осциллирующие функции с характерной длиной волны $c_s T$. Максимальное касательное напряжение в импульсе принималось равным единице. На рис. 2 приведены зависимости $\omega'_3(x'_1)$ для момента времени $t = 0,68$ мс и длительности импульса, равной 0,45 мс. В расчетах использовались следующие параметры упругости для пенистого полиуретана [7]: $\rho = 340$ кг/м³, $\lambda = 416$, $\mu = 104$, $\alpha = 4,33$ МПа, $\beta = -22,8$, $\eta = 40$, $\varepsilon = 5,3$ Н. Момент инерции частиц, зависящий от размера микроструктуры, варьировался: $j = 4,4 \cdot 10^{-4}$ кг/м (рис. 2, a), $j = 1,76 \cdot 10^{-3}$ кг/м (рис. 2, $б$). Для данных значений параметра j период собственных колебаний равен $T = 31,7; 63,3$ мкс; соответственно меняется число колебаний угловой скорости (см. рис. 2).

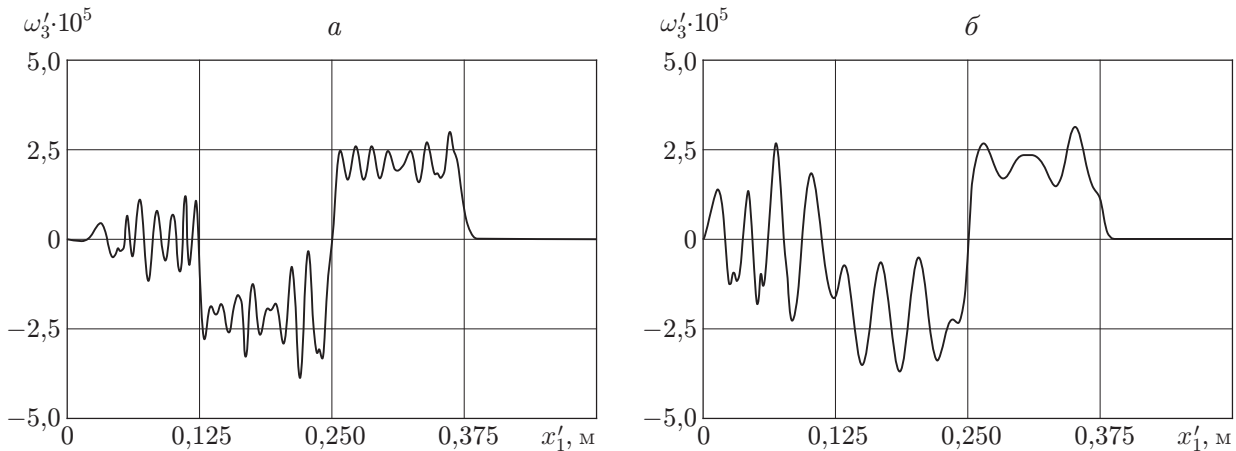


Рис. 2. Собственные колебания угловой скорости при различных размерах частиц микроструктуры материала:

a — $j = 4,4 \cdot 10^{-4}$ кг/м, b — $j = 1,76 \cdot 10^{-3}$ кг/м

3. Резонансные спектры поперечных возмущений. Согласно общей теории гиперболических систем в рамках модели (1.1) возмущения распространяются с конечными скоростями (1.4). При этом возмущения, соответствующие поперечным волнам, автоматически порождают волны вращательного движения, и наоборот, возмущения, соответствующие вращательному движению, приводят к образованию поперечных волн. Как и на крутильных волнах, на поперечных волнах возникают осцилляции решения, что является основным качественным отличием модели моментной среды Коссера от классической линейной теории упругости. Другое отличие заключается в том, что в моментной среде имеется собственная частота акустического резонанса материала, не зависящая от размеров исследуемой области и проявляющаяся только при определенных условиях возмущения. Действительно, в случае однородного напряженного состояния из системы (2.3) вытекает классическое резонансное уравнение

$$j\ddot{\omega}_3 = -4\alpha\omega_3 + 2\alpha\dot{\chi}, \quad (3.1)$$

из которого следует, что если угол сдвига $\chi(t)$ изменяется по гармоническому закону с частотой $\nu_* = 1/T$, равной частоте собственных колебаний вращательного движения, то амплитуда угловой скорости частиц бесконечно увеличивается.

Уравнение (3.1) описывает поведение бесконечно тонкого плоского упругого слоя, нижняя поверхность которого неподвижна, а верхняя движется по заданному закону. На рис. 3 приведены амплитудно-частотные зависимости для касательного напряжения на нижней поверхности слоя, полученные в результате численного решения задачи о равномерном циклическом сдвиге вязкоупругого слоя конечной толщины H . Решение описывает также крутильные колебания цилиндрического образца заданной высоты, один из торцов которого жестко закреплен. В этом случае касательное напряжение на закрепленном торце линейно зависит от радиуса и, таким образом, пропорционально величине σ_{12} , а линейная скорость на противоположном торце пропорциональна v_2 . На рис. 3,а представлена зависимость для среды Коссера, на рис. 3,б — для безмоментной вязкоупругой среды. Аналогичные зависимости для идеальных невязких сред имеют систему резонансных пиков с бесконечными амплитудами. Вязкость использовалась в качестве сглаживающего параметра. Процесс сдвига описывался уравнениями (2.3), в которых в соответствии с теорией вязкоупругости Больцмана произведения параметров среды и кинематических характеристик деформирования заменялись свертками соответствующих этим параметрам ядер

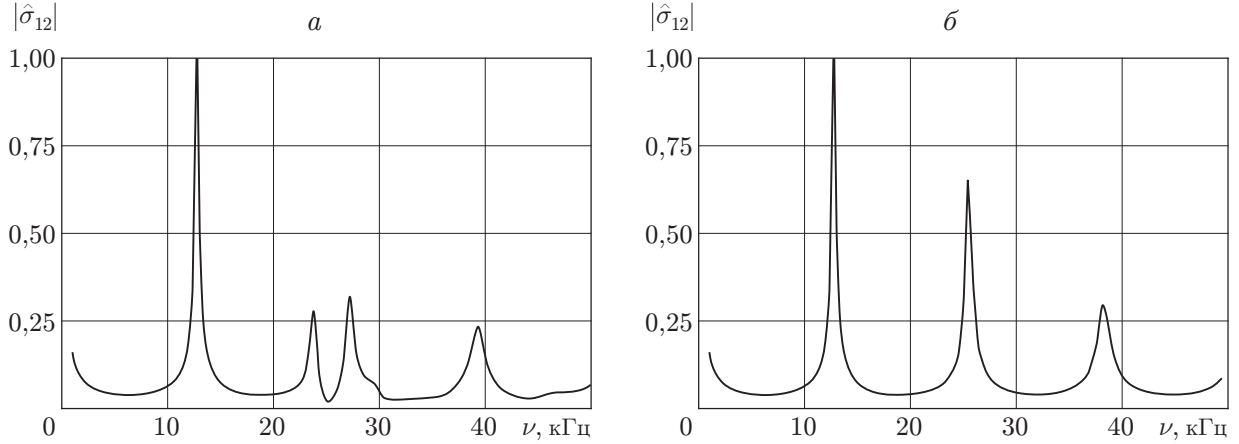


Рис. 3. Спектральные зависимости касательного напряжения для тяжелой нефти в породе:
a — среда Коссера, *б* — безмоментная вязкоупругая среда

релаксации на те же характеристики. Граничные условия задачи принимались в виде

$$v_2|_{x_1=0} = v_0 e^{2\pi i \nu t}, \quad \omega_3|_{x_1=0} = 0, \quad v_2|_{x_1=H} = \omega_3|_{x_1=H} = 0 \quad (3.2)$$

(ось x_1 направлена внутрь слоя). Система (2.3) решалась с использованием спектрального метода: после применения преобразования Фурье из системы (2.3) была получена система обыкновенных дифференциальных уравнений для амплитуд

$$\begin{aligned} 4\pi^2 \nu^2 \rho \hat{v}_2 + (\hat{\mu} + \hat{\alpha}) \hat{v}_{2,11} - 2\hat{\alpha} \hat{\omega}_{3,1} &= 0, \\ 4(\pi^2 \nu^2 j - \hat{\alpha}) \hat{\omega}_3 + (\hat{\gamma} + \hat{\varepsilon}) \hat{\omega}_{3,11} + 2\hat{\alpha} \hat{v}_{2,1} &= 0, \end{aligned} \quad (3.3)$$

решение которой строилось в явной форме с учетом граничных условий (3.2). Амплитуда касательного напряжения определялась через решение (3.3) по формуле

$$2\pi i \nu \hat{\sigma}_{12} = (\hat{\mu} + \hat{\alpha}) \hat{v}_{2,1} - 2\hat{\alpha} \hat{\omega}_3.$$

Для проверки достоверности результатов выполнено численное решение задачи на основе аппроксимирующей (3.3) спектрально-разностной схемы

$$\begin{aligned} 4\pi^2 \nu^2 \rho \hat{v}_2^k + (\mu + \alpha) \frac{\hat{v}_2^{k+1} - 2\hat{v}_2^k + \hat{v}_2^{k-1}}{h^2} - 2\alpha \frac{\hat{\omega}_3^k - \hat{\omega}_3^{k-1}}{h} &= 0, \\ 4(\pi^2 \nu^2 j - \hat{\alpha}) \hat{\omega}_3^k + (\gamma + \varepsilon) \frac{\hat{\omega}_3^{k+1} - 2\hat{\omega}_3^k + \hat{\omega}_3^{k-1}}{h^2} + 2\alpha \frac{\hat{v}_2^{k+1} - \hat{v}_2^k}{h} &= 0, \end{aligned} \quad (3.4)$$

где $h = H/N$ — шаг сетки; $k = 1, \dots, N - 1$. Расчеты проводились методом матричной прогонки, и результаты, полученные на достаточно мелких сетках, практически не различались.

Феноменологические параметры среды в расчетах подбирались по экспериментальным данным [8] для тяжелой нефти в породе при достаточно низкой температуре, когда материал находится в твердой фазе ($\rho = 1114 \text{ кг/м}^3$, $j = 0,01 \text{ кг/м}$, $\mu = 966$, $\alpha = 52,2 \text{ МПа}$, $\gamma + \varepsilon = 12,51 \text{ Н}$, $H = 36,4 \text{ мм}$). В расчетах использовалась теория Кельвина — Фойгта, в соответствии с которой комплексные модули являются линейными функциями частоты, в частности $\hat{\mu} = \mu + 2\pi i \nu \mu'$. Мнимые части выбирались таким образом, чтобы добиться необходимого сглаживания решения.

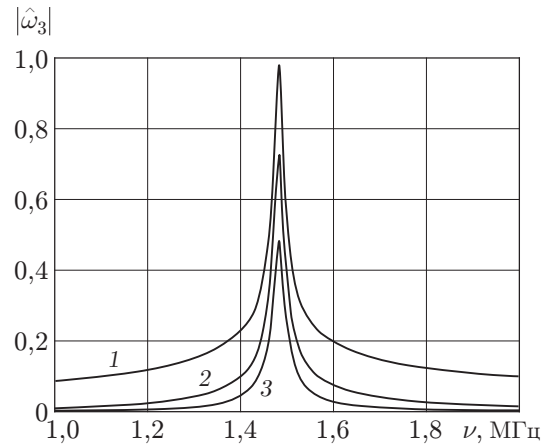


Рис. 4. Спектральная зависимость угловой скорости для синтетического полиуретана при $H = 10$ см и различных расстояниях от поверхности слоя:

1 — $x_1 = 0$, 2 — $x_1 = H/4$, 3 — $x_1 = H/2$

Сравнение рис. 3,а и 3,б показывает, что моментная среда обладает дополнительной резонансной частотой 23 кГц, близкой к частоте вращательного движения частиц, которая не зависит от толщины слоя. Это подтверждается данными большого количества численных экспериментов для различных толщин. Установлено, что изменение толщины слоя H приводит к смещению периодической системы основных резонансных частот, приблизительно равных $\nu_k = kc_s/(2H)$ ($k = 1, 2, \dots$), при этом пик, соответствующий частоте ν_* , остается неподвижным.

Аналогичные расчеты для пенистого полиуретана не показали столь же значительного на фоне основных частот пика на резонансной частоте этого материала, имеющей тот же порядок значений, что и для тяжелой нефти. Это обусловлено существенно более низкими моментными характеристиками, выраженными значениями параметров j и α . Установлено, что в материалах с низкими моментными характеристиками резонанс вращательного движения частиц можно возбудить, например, за счет периодического изменения вращательного момента на границе слоя. На рис. 4 приведены спектральные кривые для синтетического полиуретана ($\rho = 590$ кг/м³, $j = 5,31 \cdot 10^{-6}$ кг/м, $\lambda = 2,195$, $\mu = 1,033$, $\alpha = 0,115$ ГПа, $\beta = -2,34$, $\gamma = 4,1$, $\varepsilon = 0,13$ Н (см. работу [7])). Результаты получены путем численного решения спектрально-разностным методом (см. (3.4)) системы уравнений (3.3) с граничными условиями

$$\sigma_{12}|_{x_1=0} = 0, \quad m_{13}|_{x_1=0} = m_0 e^{2\pi i \nu t}, \quad v_2|_{x_1=H} = \omega_3|_{x_1=H} = 0. \quad (3.5)$$

Приведенные зависимости получены при $H = 10$ см, однако от толщины слоя они практически не зависят. Анализ рис. 4 показывает, что в рассматриваемом диапазоне амплитуда угловой скорости имеет единственный резонансный пик на частоте $\nu_* = 1,48$ МГц, высота которого регулируется мнимой частью параметра $\hat{\gamma} + \hat{\varepsilon}$ и при увеличении глубины почти линейно уменьшается.

Качественно подобные результаты в задаче с граничными условиями (3.5) получены в расчетах, выполненных для пенистого полиуретана и тяжелой нефти. Для того чтобы подтвердить численные результаты аналитически, рассмотрим систему уравнений (3.3) при $\nu = \nu_*$ для невязкой моментной среды:

$$(4\alpha\rho/j)\hat{v}_2 + (\mu + \alpha)\hat{v}_{2,11} - 2\alpha\hat{\omega}_{3,1} = 0, \quad (\gamma + \varepsilon)\hat{\omega}_{3,11} + 2\alpha\hat{v}_{2,1} = 0. \quad (3.6)$$

Для этой системы характеристическое уравнение имеет кратный корень, равный нулю, с кратностью два. Фундаментальная система решений состоит из векторов

$$\begin{pmatrix} -i(\gamma + \varepsilon)z \\ 2\alpha \end{pmatrix} e^{izx_1}, \quad \begin{pmatrix} i(\gamma + \varepsilon)z \\ 2\alpha \end{pmatrix} e^{-izx_1}, \quad \begin{pmatrix} 0 \\ 1 \end{pmatrix}, \quad \begin{pmatrix} j/(2\rho) \\ x_1 \end{pmatrix},$$

где $z = 2\sqrt{(\alpha\rho(\gamma + \varepsilon)/j + \alpha^2)/((\mu + \alpha)(\gamma + \varepsilon))}$. Общее решение системы (3.6) имеет вид

$$\begin{aligned} \hat{v}_2 &= -i(\gamma + \varepsilon)z(Ae^{izx_1} - Be^{-izx_1}) + jD/(2\rho), \\ \hat{\omega}_3 &= 2\alpha(Ae^{izx_1} + Be^{-izx_1}) + C + Dx_1. \end{aligned}$$

В силу граничных условий (3.5) на поверхности $x_1 = 0$ константы A и B выражаются через C и D :

$$A + B = \frac{jC}{2\rho(\gamma + \varepsilon)}, \quad A - B = \frac{iD}{2\alpha z} + \frac{\pi\nu_*m_0}{\alpha z(\gamma + \varepsilon)}.$$

Из граничных условий на поверхности $x_1 = H$ следует система уравнений

$$\begin{pmatrix} j\alpha z \sin(zH) & \rho(\gamma + \varepsilon) \cos(zH) + j\alpha \\ j\alpha z \cos(zH) + \rho z(\gamma + \varepsilon) & \rho(\gamma + \varepsilon)(zH - \sin(zH)) \end{pmatrix} \begin{pmatrix} C \\ D \end{pmatrix} = 2\pi i \rho \nu_* m_0 \begin{pmatrix} \cos(zH) \\ -\sin(zH) \end{pmatrix}, \quad (3.7)$$

позволяющая определить все константы. При $x_1 = 0$ амплитуда угловой скорости находится по формуле

$$\hat{\omega}_3(0) = j\alpha C/(\rho(\gamma + \varepsilon)) + C.$$

Из системы (3.7) следует, что при больших значениях H константа D является величиной порядка $1/H$, а C — величиной порядка $\text{ctg}(zH)$. Следовательно, амплитуда стремится к бесконечности, если zH близко к πk ($k = 1, 2, \dots$).

Таким образом, без учета вязкости среды в задаче с граничными условиями (3.5) частота ν_* оказывается резонансной только для слоев строго определенной толщины. Приращение толщины резонирующего слоя $\Delta H = \pi/z$ зависит от параметров материала. Для синтетического полиуретана значение $\Delta H = 0,42$ мм сравнимо с характерным параметром микроструктуры $r = 0,15$ мм. Зависимость модуля амплитуды $\hat{\omega}_3(0)$ от толщины слоя приведена на рис. 5. Видно, что асимптотическая формула для величины ΔH выполняется с высокой точностью.

4. Расчеты пространственного распространения волн. В работах [3, 4] описан алгоритм численной реализации системы уравнений (1.2) на суперкомпьютерах с параллельной архитектурой и дана формулировка граничных условий симметрии для моментной теории упругости изотропной среды, позволяющих уменьшить объем вычислений за счет отсека части расчетной области. Алгоритм основан на методе двуциклического расщепления по пространственным переменным и времени второго порядка точности. Полученные в результате расщепления одномерные системы уравнений решаются с помощью явной монотонной ENO-схемы (essentially nonoscillatory) типа предиктор-корректор, представляющей собой обобщение схемы распада разрыва Годунова, с использованием кусочно-линейных сплайнов, разрывных на границах ячеек. Сплайны строятся на основе специальной процедуры предельной реконструкции, позволяющей повысить точность численного решения. Полученная таким образом расчетная схема обладает свойством монотонности, поэтому, в отличие от многих более простых схем, может быть использована для исследования обобщенных решений в задачах об ударных, импульсных и сосредоточенных воздействиях.

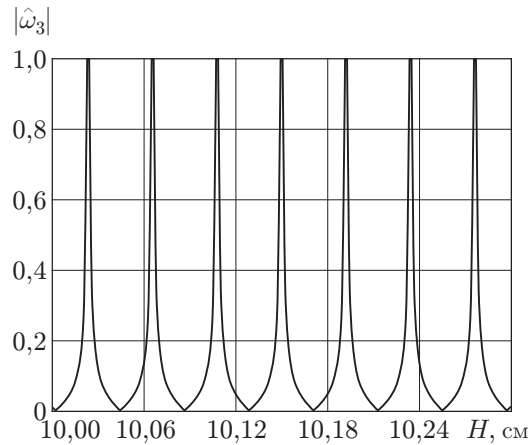


Рис. 5. Зависимость модуля амплитуды угловой скорости от толщины слоя

Программирование вычислений выполнено по широко распространенной в настоящее время технологии SPMD (single program — multiple data) на языке Fortran-95 с использованием библиотеки передачи сообщений MPI (message passing interface). Расчетная область распределяется между вычислительными узлами по принципу равномерной загрузки посредством одно-, дву- или трехмерного разбиения. Распараллеливание вычислений осуществляется на этапе расщепления задачи по пространственным переменным. Тестирование алгоритма и комплекса программ выполнялось путем сопоставления результатов расчетов с точным решением двумерной задачи о распространении поверхностных волн Рэлея в среде Коссера [9], а также с точными решениями, описывающими одномерные движения среды с плоскими волнами. Результаты расчетов собственных колебаний в моментной среде в двумерной постановке на основе разработанного алгоритма приведены в работе [3]. В [4] представлены результаты численного решения пространственной задачи Лэмба о мгновенном действии сосредоточенных сил и моментов на поверхности полупространства. Ниже приводятся результаты численного решения задачи о действии сосредоточенного вращательного момента $m_{12} = -m_0\delta(x)\sin(2\pi\nu_*t)$, изменяющегося периодически во времени с частотой, равной резонансной частоте.

С учетом условий симметрии расчетная область представляет собой 1/4 полупространства. В действительности расчеты проводились на кубе из синтетического полиуретана с длиной стороны 1 см. В расчетах использовалась равномерная разностная сетка размером $200 \times 200 \times 200$ ячеек. На более грубых сетках выполнить расчеты с приемлемой точностью невозможно, поскольку размер ячеек становится сравнимым с параметром микроструктуры среды. На искусственно введенных гранях куба задавались условия симметрии [4] и неотражающие граничные условия, моделирующие беспрепятственное прохождение волн. Расчеты выполнялись на кластере МВС-1000 Института вычислительного моделирования СО РАН. Каждым из 64 вычислительных узлов решалась часть задачи на подсетке с размерностью $50 \times 50 \times 50$ ячеек. Для расчета 200 шагов по времени требуется приблизительно 10 ч машинного времени. На рис. 6, а, б приведены сейсмограммы угла поворота частиц вокруг горизонтальной оси вдоль горизонтальной трассы, проходящей через точку приложения нагрузки, для задачи Лэмба и задачи о периодическом воздействии с резонансной частотой ν_* . Результаты обработаны в компьютерной системе SeisView. Сравнивая сейсмограммы по числу колебаний, можно заметить, что соответствующие длины волн практически совпадают.

На рис. 7, а, б показаны поверхности уровня угловой скорости ω_2 для нерезонансной частоты $\nu = 1,5\nu_*$ и резонансной частоты ν_* соответственно. Расчеты показывают, что

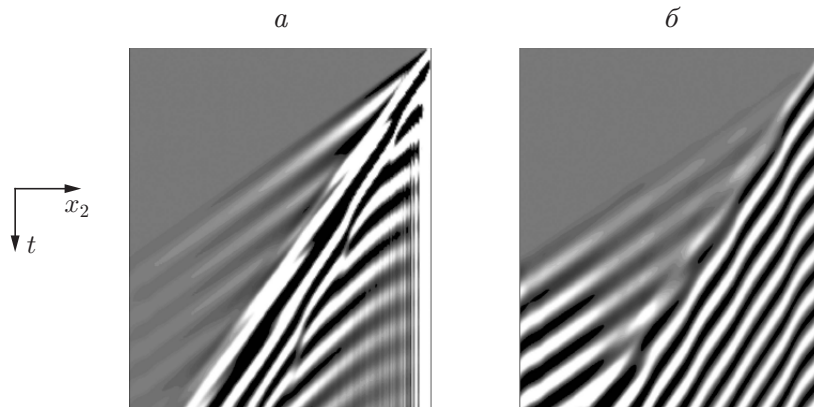


Рис. 6. Сейсмограммы падающих волн в случае импульсного (а) и периодического (б) воздействий

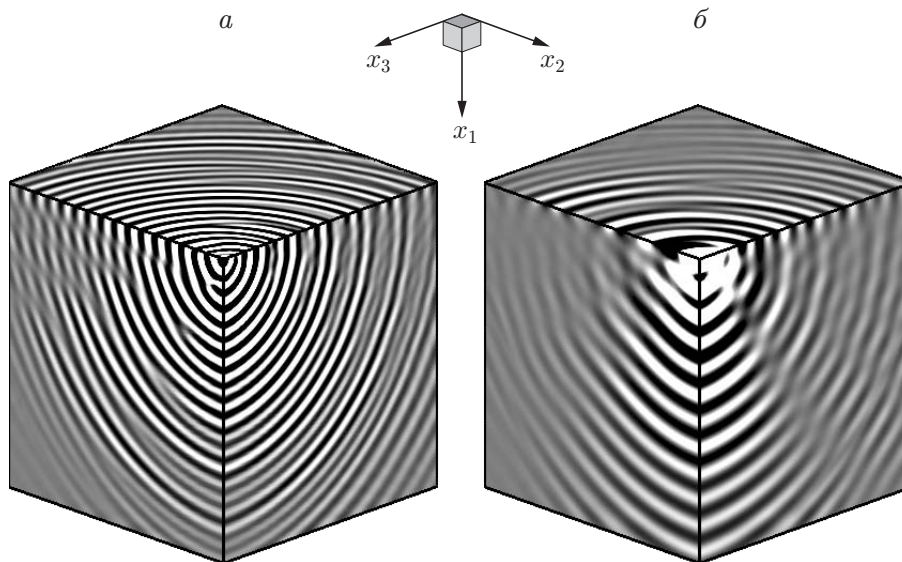


Рис. 7. Поверхности уровня угловой скорости для нерезонансной (а) и резонансной (б) частот

при частоте внешнего воздействия $\nu = \nu_*$ происходит увеличение амплитуды со временем и более медленное затухание колебаний с увеличением расстояния, характерное для акустического резонанса.

Результаты расчетов могут служить методической основой при планировании экспериментов по определению феноменологических параметров континуума Коссера (проблема, в настоящее время практически не решенная).

ЛИТЕРАТУРА

1. **Cosserat E., Cosserat F.** Theorie des corps deformables // Chwolson's Traité Physique: 2-me ed. Paris: Librairie Scientifique A. Hermann et Fils, 1909. P. 953–1173.
2. **Пальмов В. А.** Основные уравнения теории несимметричной упругости // Прикл. математика и механика. 1964. Т. 28, вып. 3. С. 401–408.
3. **Садовская О. В.** Математическое моделирование в задачах механики сыпучих сред / О. В. Садовская, В. М. Садовский. М.: Физматлит, 2008.

4. **Садовская О. В.** Численное решение пространственных динамических задач моментной теории упругости с граничными условиями симметрии // Журн. вычисл. математики и мат. физики. 2009. Т. 49, № 2. С. 313–322.
5. **Годунов С. К.** Уравнения математической физики. М.: Наука, 1979.
6. **Sadovskaya O. V., Sadovsky V. M.** Numerical analysis of elastic waves propagation in Cosserat continuum // Proc. of the 8th Intern. conf. on mathematical and numerical aspects of wave propagation “Waves 2007”, University of Reading, England, 23–27 July 2007. Paris: INRIA, 2007. P. 327–329.
7. **Lakes R.** Experimental methods for study of Cosserat elastic solids and other generalized elastic continua // Continuum models for materials with micro-structure / Ed. by H. Mühlhaus, J. Wiley. N. Y.: J. Wiley and sons, Ltd., 1995. Ch. 1. P. 1–22.
8. **Behura J., Batzle M., Hofmann R., Dorgan J.** Heavy oils: Their shear story // Geophys. 2007. V. 72, N 5. P. E175–E183.
9. **Кулеш М. А., Матвеев В. П., Шардаков И. Н.** О распространении упругих поверхностных волн в среде Коссера // Докл. АН. 2006. Т. 405, № 2. С. 196–198.

Поступила в редакцию 9/IV 2009 г.
